

# Неоднородные состояния и механизм перемагничивания цепочки классических диполей

© И.Р. Каретникова, И.М. Нефедов, М.В. Сапожников, А.А. Фраерман, И.А. Шерешевский

Институт физики микроструктур Российской академии наук,  
603600 Нижний Новгород, Россия  
E-mail:andr@ipm.sci-nnov.ru

(Поступила в Редакцию 30 января 2001 г.)

Численно и аналитически изучены неоднородные состояния (солитоны) в цепочке классических диполей. Аналитическое решение задачи основано на длинноволновом приближении для дипольных сумм, которое справедливо при больших полях, перпендикулярных цепочке. Получено хорошее соответствие аналитического и численного решений. Методом численного моделирования, основанным на решении стохастических уравнений Ландау–Лифшица, исследован процесс перемагничивания. Показано, что перемагничивание цепочки диполей при конечной температуре носит термоактивационный характер и осуществляется путем образования зародыша стабильной фазы (солитона на краю цепочки) и дальнейшего разрастания (движения солитона вдоль цепочки).

Работа выполнена при поддержке Российского фонда фундаментальных исследований (проект № 00-02-16485).

Интерес к упорядоченным системам ферромагнитных наночастиц связан в первую очередь с перспективой создания на их основе устройств для сверхплотной ( $> 10^{10}$  bit/cm<sup>2</sup>) записи и хранения информации. С другой стороны, исследование ансамбля однодоменных магнитных частиц предоставляет уникальную возможность изучения коллективных эффектов, обусловленных хорошо определенным взаимодействием частиц. В силу большого (по сравнению с межатомным) размером частиц их магнитный момент можно считать классической величиной. Фундаментальной причиной взаимодействия являются магнитостатические поля, создаваемые однодоменными частицами. Такое взаимодействие обычно теоретически исследуется в дипольном приближении. При этом частица представляется точечным диполем с магнитным моментом, пропорциональным ее объему. Это приближение справедливо в двух случаях: а) когда расстояние между частицами много больше их размеров, в) когда форма частиц близка к сферической. В настоящей работе аналитически и численно исследуются неоднородные состояния (солитоны) в цепочках классических диполей и их роль в процессах перемагничивания при конечной температуре. Упорядоченные цепочки ферромагнитных наночастиц могут быть синтезированы либо в процессе самоорганизации [1], либо методом нанолитографии [2,3]. Экспериментально исследуются не изолированные цепочки, а системы цепочек. Однако в силу малости межцепочечного взаимодействия по сравнению с внутрицепочечным [4] теоретическое исследование цепочки классических диполей представляется важным для понимания экспериментальной ситуации.

## 1. Солитон в одномерной цепочке трехмерных диполей

Начнем с вычисления спектра малых (линейных) возбуждений в неограниченной цепочке. Невозбужденному состоянию соответствует параллельная ориентация ди-

полей  $\mathbf{M} = (M_0, 0, 0)$ . Линеаризуя уравнение Ландау–Лифшица, для Фурье-образов малых поправок  $\mathbf{m}$  в безразмерных переменных имеем

$$\frac{\partial m_x}{\partial \tau} = 0, \quad \frac{\partial m_y}{\partial \tau} = -2m_z(\mathbf{D}(k) + 2D(0)),$$

$$\frac{\partial m_z}{\partial \tau} = 2m_y(D(k) + 2D(0)), \quad D(k) = \sum_{n=1}^{\infty} \frac{\cos kn}{n^3}, \quad (1)$$

$\tau = t\gamma M_0$ ,  $t$  — время,  $\gamma$  — гиромагнитное отношение,  $M_0$  — намагниченность цепочки. Расстояние между ближайшими диполями принято за единицу. При выводе (1) учтено, что  $D_{zz} = D_{yy} = -D_{xx}/2 = 1/n^3$ , а все недиагональные компоненты дипольного тензора равны нулю,  $D(0) \equiv D(k=0)$ . Зависимость частоты собственных колебаний от волнового числа легко найти

$$\omega(k) = 2(D(k) + 2D(0)). \quad (2)$$

Частоты малых колебаний отличны от нуля, что обусловлено анизотропией дипольного взаимодействия. Таким образом, вычисление среднего квадрата угла отклонения диполей от оси  $X$  в гауссовом приближении дает конечную величину. Это не означает, однако, что в одномерной цепочке диполей при конечной температуре существует дальний порядок [5]. Дальний порядок разрушается в этой системе нелинейными возбуждениями подобно тому, как это происходит в одномерной модели Изинга. Задача нахождения корреляционного радиуса (или равновесной концентрации возбуждений) гораздо сложнее, чем в модели Изинга. Дело в том, что изинговские возбуждения образуют идеальный газ и их равновесная концентрация  $\sim \exp(-2J/T)$ ,  $J$  — энергия взаимодействия спинов. В дипольной системе солитоны взаимодействуют, и до сих пор задача вычисления термодинамических характеристик цепочки трехмерных классических диполей не решена. Поэтому представляет

интерес определение энергии и структуры нелинейных возбуждений (солитонов) в этой системе. Отметим, что солитоны играют также существенную роль в процессах перематгничивания цепочки диполей при конечной температуре.

Энергия цепочки диполей во внешнем магнитном поле имеет вид

$$E = \frac{1}{2} \sum_{n \neq m} \frac{1}{|n-m|^3} [M_y(n)M_y(m) + M_z(n)M_z(m) - M_x(n)M_x(m)] - \mathbf{H} \sum_n \mathbf{M}(n). \quad (3)$$

Аналитическое определение экстремалей этого функционала является очень сложной задачей. Поэтому мы рассмотрим частный случай, когда внешнее магнитное поле направлено перпендикулярно цепочке  $\mathbf{H} = (0, H, 0)$  и достаточно велико. Как будет показано далее, это позволяет использовать длинноволновое приближение. Запишем энергию (3) в Фурье-представлении

$$E = \frac{1}{2\pi} \int_{-\infty}^{\infty} (D(k) [M_y(k)M_y(-k) + M_z(k)M_z(-k) - 2M_x(k)M_x(-k)] - HM_y(k)) dk. \quad (4)$$

Пользуясь интегральным представлением  $D(k)$  [6]

$$D(k) = \sum_{n=1}^{\infty} \frac{\cos kn}{n^3} = \int_0^{\infty} \frac{t^2(e^t \cos k - 1)}{1 - 2e^t \cos k + e^{2t}} dt, \quad (5)$$

в длинноволновом приближении ( $k \rightarrow 0$ ) получим

$$D(k) \simeq \zeta(3) + \frac{1}{2} \left( k^2 \ln k - \frac{3}{2} k^2 \right), \quad (6)$$

$\zeta(3) \simeq 1.2$  — функция Римана. Первое слагаемое описывает анизотропию цепочки, второе соответствует магнитодипольному взаимодействию в приближении сплошной среды, третье — ”псевдообменное” слагаемое — вводится из-за дискретности рассматриваемой системы. Функционал энергии в длинноволновом приближении принимает вид

$$E = \int_{-\infty}^{\infty} \left( \frac{3}{2} \left[ \left( \frac{\partial M_x}{\partial n} \right)^2 - \frac{1}{2} \left( \frac{\partial M_y}{\partial n} \right)^2 \right] - 3\zeta(3)M_x^2 - HM_y \right) dn - \pi \int_{-\infty}^{\infty} \int_{-\infty}^{\infty} \left( \frac{\partial M_x}{\partial n} \frac{\partial M_x}{\partial m} - \frac{1}{2} \frac{\partial M_y}{\partial n} \frac{\partial M_y}{\partial m} \right) \frac{1}{|n-m|} dndm. \quad (7)$$

При записи (4) предполагается, что в больших полях  $H$   $z$ -компонента магнитного момента равна нулю.

Абсолютному минимуму этого функционала соответствует однородное распределение магнитного момента  $\cos \varphi_0 = H/6\zeta(3)$ ,  $\varphi$  — угол между направлениями поля и магнитного момента. При  $H$ , близких к полю анизотропии  $6\zeta(3)$ , отклонение  $\mathbf{M}$  от оси  $Y$  мало. Ограничиваясь членами  $\sim \varphi^4$ , получаем уравнение для экстремалей (7)

$$\frac{\partial^2 \psi}{\partial x^2} + 2(\psi - \psi^3) + 2\pi \frac{\partial}{\partial x} \int_{-\infty}^{\infty} \frac{\partial \psi}{\partial y} \frac{dy}{|x-y|} = 0, \quad (8)$$

где  $\varphi = \varphi_0 \psi$ ,  $x = \ln$ ,  $\varphi^2 = 2(1-h)$  — равновесное значение угла,  $l^2 = 2/(\zeta(3)\varphi^2)$  — характерный размер задачи,  $h = H/6\zeta(3)$ . При  $h \rightarrow 1$   $l \gg 1$  и длинноволновое описание оправдано. Нас интересуют решения (8), удовлетворяющие граничным условиям  $\psi(x \rightarrow \pm\infty) = \pm 1$ . Решение уравнения (8) будем искать в виде

$$\psi = \text{tg } hx + f(x). \quad (9)$$

Первое слагаемое описывает ядро солитона, размер которого возрастает с ростом поля по корневому закону  $\sim (1-h)^{0.5}$ , а также выход на асимптотические значения  $\pm 1$ . Из симметрии задачи и вида граничных условий следует, что  $f(-x) = -f(x)$ ,  $f(|x| \rightarrow \infty) \rightarrow 0$ . Найдем закон изменения  $f(x)$  при больших значениях  $x$ , который определяет закон взаимодействия солитонов на больших расстояниях. Предполагая  $f(x) \ll \text{tg } hx$ , получим

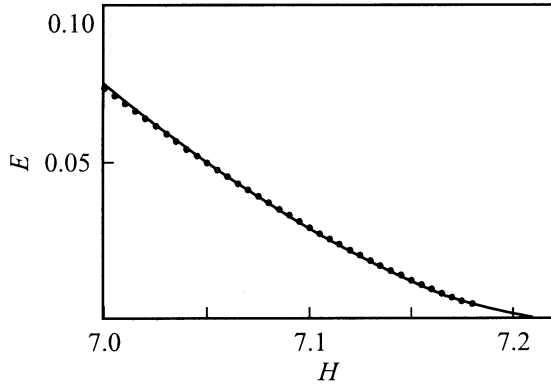
$$\frac{\partial^2 f}{\partial x^2} - 4f + \frac{6}{\cos h^2 x} f = -2\pi \frac{\partial}{\partial x} \int_{-\infty}^{\infty} \frac{1}{\cos h^2 y} \frac{dy}{|x-y|} - 2\pi \frac{\partial}{\partial x} \int_{-\infty}^{\infty} \frac{\partial f}{\partial y} \frac{dy}{|x-y|}. \quad (10)$$

При больших  $x$  можно пренебречь первыми двумя слагаемыми в левой части уравнения. В силу свойств функции  $f(x)$  соответствующее ей распределение ”магнитных” зарядов имеет нулевой суммарный заряд. Действительно,  $\partial \varphi / \partial x \sim \partial M_x / \partial x = \text{div } \mathbf{M}$  определяет ”плотность зарядов” в магнитостатике. Поэтому вторым слагаемым в левой части уравнения также можно пренебречь. В итоге имеем

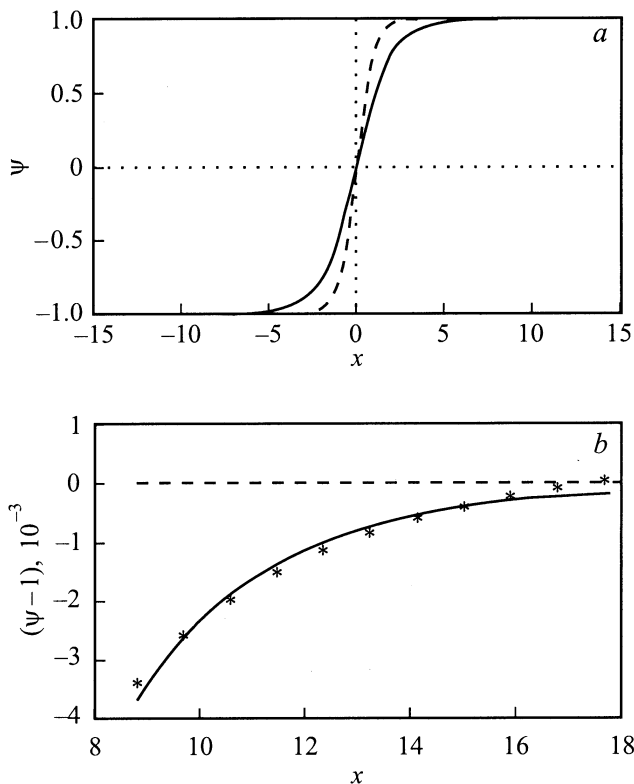
$$f(x) \sim \mp \frac{1}{x^2}, \quad x \rightarrow \pm\infty. \quad (11)$$

Этот результат легко понять, если учесть, что рассматриваемый солитон (доменная стенка) является в магнитостатическом смысле заряженным. Солитону соответствует отрицательный магнитный заряд, распределенный внутри ядра. На больших по сравнению с размером ядра расстояниях этот заряд можно считать точечным, создающим поле, направленное к центру солитона и уменьшающееся как  $1/x^2$ .

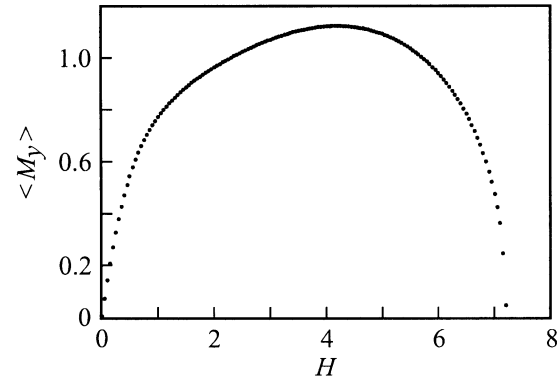
Для проверки сделанных выше предложений о структуре солитона в одномерной цепочке диполей, а также определения его структуры в малых полях мы провели численные расчеты. Моделирование основано на решении системы уравнений Ландау–Лифшица (см. далее). Солитонные решения выбирались посредством задания



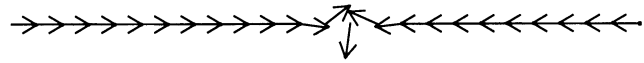
**Рис. 1.** Зависимость собственной энергии солитона в области полей, близких к полю насыщения (в безразмерных единицах). Сплошная линия —  $E = 0.76(6\zeta(3) - H)^{1.5}$ , точками показаны результаты численного решения.



**Рис. 2.** *a* — распределение намагниченности в солитоне при внешнем поле  $h = 0.9844$  (в безразмерных единицах). Штриховая линия  $\psi = thx$ , сплошная линия — результаты численного моделирования. *b* — распределение намагниченности при больших расстояниях. Точки — численное решение, сплошная линия —  $\psi = 1 - 1/x^2$ .



**Рис. 3.** Зависимость у-компоненты  $\langle M_y \rangle$  интегрального магнитного момента солитона от внешнего поля (результаты численного решения в безразмерных единицах).



**Рис. 4.** Распределение магнитных моментов диполей при отсутствии внешнего поля.

начальных условий. На рис. 1 приведены результаты расчета зависимости собственной энергии солитона от внешнего магнитного поля. В области больших полей энергия солитона хорошо аппроксимируется выражением  $E = 3/4(6\zeta(3) - H)^{1.5}$ . Эта зависимость энергии солитона от внешнего поля следует из выражения (7). Действительно, энергия солитона пропорциональна отношению квадрата равновесного угла ( $\varphi^2 \sim (1 - h)$ ) к "толщине" солитона ( $l \sim (1 - h)^{-0.5}$ ). В итоге имеем  $E \sim (1 - h)^{1.5}$ .

На рис. 2 представлены результаты расчетов распределения намагниченности в солитоне. Численное моделирование подтверждает правильность наших представлений о структуре солитонов в больших ( $H \sim 6\zeta(3)$ ) полях. На рис. 3 показана зависимость интегрального значения у-компоненты собственной намагниченности солитона

$$\langle M_y \rangle = \int_{-\infty}^{\infty} (\cos \varphi - \cos \varphi_0) dx.$$

При уменьшении поля структура солитона отличается от определенной аналитически. В частности, у-компонента магнитного момента солитона обращается в нуль при  $H = 0$ , а ядро солитона имеет "антиферромагнитную" структуру (рис. 4).

## 2. Термоактивационный механизм перемагничивания цепочки диполей

Как отмечалось, солитоны играют существенную роль при перемагничивании цепочки диполей. Рассмотрим цепочку частиц, дипольный момент которых направлен

вдоль оси  $X$ . Если система помещена во внешнее поле, направленное против магнитного момента, то начальное состояние является метастабильным вплоть до некоторого поля  $H_c$ . При  $H > H_c$  диполи ориентируются по полю — цепочка перемагничивается, при этом  $H_c$  является полем коэрцитивности цепочки. Стандартный анализ системы на устойчивость показывает, что

$$H_c = 2 \min[D(k) + 2\zeta(3)],$$

где  $D(k)$  определено в (5). Поскольку минимальное значение  $D(k)$  соответствует краю зоны Бриллюэна, такой механизм перемагничивания получил название "развеивания" [7]. При конечной температуре перемагничивание может происходить иначе. Известно, что распад метастабильного состояния происходит через образование критического зародыша стабильной фазы и последующее его разрастание. Этот механизм обсуждался в [8,9] применительно к перемагничиванию тонкого ферромагнитного цилиндра. Ключевым при этом является вопрос о структуре и энергии критического зародыша, так как вероятность перемагничивания пропорциональна  $\exp(-E_c/kT)$ ,  $E_c$  — энергия критического зародыша,  $T$  — температура,  $k$  — постоянная Больцмана.

Пусть в цепочке диполей, ориентированных в положительном направлении оси  $X$ , возник зародыш, содержащий  $l$  частиц, магнитные моменты которых ориентированы вдоль поля. Изменение энергии системы, связанное с образованием зародыша, представим в виде

$$\Delta E(l) = \varepsilon(l) - 2hl. \quad (12)$$

Первое слагаемое отвечает увеличению энергии из-за образования двух солитонов на границе зародыша, второе слагаемое соответствует понижению энергии системы из-за взаимодействия с внешним полем. "Поверхностный" вклад в энергию  $\varepsilon(l)$  включает собственную энергию двух солитонов и энергию их взаимодействия. Ясно, что при достаточно больших  $L$  взаимодействие солитонов обусловлено наличием у них магнитостатического заряда, пропорционального  $-\text{div}\mathbf{M}$ . Энергия их взаимодействия при этой  $\sim 4/l$ . Притяжение солитонов приводит к существованию критического зародыша, размер которого  $l_c \sim 1/\sqrt{h}$ , а энергия  $E_c \simeq 2\varepsilon_0 - 4\sqrt{h}$  ( $\varepsilon_0$  — собственная энергия одиночного солитона). Таким образом, в исследуемой системе возможно существование критического зародыша новой фазы, вероятность образования которого  $\sim \exp(-E_c(h)/T)$ .

Для проверки этой гипотезы мы провели численное моделирование процесса перемагничивания в цепочке диполей. Численная схема основана на решении системы стохастических уравнений Ландау–Лифшица, которая в безразмерных переменных имеет вид

$$\frac{\partial \mathbf{m}}{\partial \tau} = -[\mathbf{m}\mathbf{h}] - \lambda[\mathbf{m}[\mathbf{m}\mathbf{h}]], \quad (13)$$

$h_i(x) = h_{0i} - \sum_y D_{ik}(\mathbf{x} - \mathbf{y})m_k(\mathbf{y}) + \xi_i(\mathbf{x}, \tau)$  — суммарное магнитное поле, действующее на частицу с координатой  $\mathbf{x}$ . Безразмерные переменные выбраны следующим

образом:  $\mathbf{m} = \mathbf{M}/M_s$ ,  $\mathbf{h} = \mathbf{H}/M_s$ ,  $\tau = t\gamma M_s/(1 + \lambda^2)$ ,  $\mathbf{x} = \mathbf{r}/v^{1/3}$ .  $M_s$  — магнитный момент частицы (в расчетах использовано значение  $M_s = 800$  Г, соответствующее пермаллою),  $v$  — объем частицы ( $v = 8 \cdot 10^{-18}$  см<sup>3</sup>),  $\gamma = 1.76 \cdot 10^7$  Ое<sup>-1</sup> · с<sup>-1</sup>,  $\lambda$  — безразмерная константа затухания ( $\lambda = 0.1$ ). Расстояние между центрами частиц выбиралось равным 50 нм. Эффективное поле  $\mathbf{h}(\mathbf{x})$ , действующее на частицу в точке  $\mathbf{x}$ , включает однородное внешнее поле  $\mathbf{h}_0$ , поле, создаваемое всеми другими частицами в данной точке, и случайное поле  $\xi(\mathbf{x}, \tau)$ , моделирующее действие на частицу термостата. Поле  $\xi$  считается дельта-коррелированной случайной гауссовой величиной

$$\langle \xi_i \rangle = 0, \quad \langle \xi_i(\mathbf{x}, \tau_p) \xi_j(\mathbf{y}, \tau_q) \rangle = \Gamma^2 \delta_{ij} \delta(\mathbf{x} - \mathbf{y}) \delta_{pq}. \quad (14)$$

Интенсивность этих флуктуаций в соответствии с флуктуационно-диссипационной теоремой пропорциональна температуре  $\Gamma^2 = 2kT\lambda/M_s^2 v \Delta\tau$ ,  $\Delta\tau$  — шаг интегрирования по времени.

Обозначим вероятность появления критического зародыша в единицу времени  $\alpha(T, h_0)$ . Чтобы рассчитать  $\alpha$ , рассмотрим случайную величину  $\theta$  — момент появления зародыша. Плотность распределения этой величины имеет вид  $p(\theta) = \alpha \exp(-\alpha\theta)$ . Таким образом, среднее время до появления зародыша (время ожидания зародыша)  $\langle \theta \rangle = 1/\alpha$ . Алгоритм вычисления этой величины состоит в следующем. Выберем начальные условия в виде

$$\mathbf{m}(t = 0) = (1, 0, 0).$$

Приложим внешнее магнитное поле против оси  $X$ ,  $\mathbf{h} = (-h_0, 0, 0)$ . Решаем систему (13) до момента  $\theta$ , когда перевернется половина всех диполей в цепочке  $\sum m_x(n, \theta) = 0$ . Время  $\theta$  несколько больше времени появления необратимо растущего зародыша новой фазы  $\tilde{\theta}$ . Поскольку  $\tilde{\theta} - \theta \ll \theta$ , этой разницей пренебрегаем (цепочка состоит из 50 частиц). Повторяя

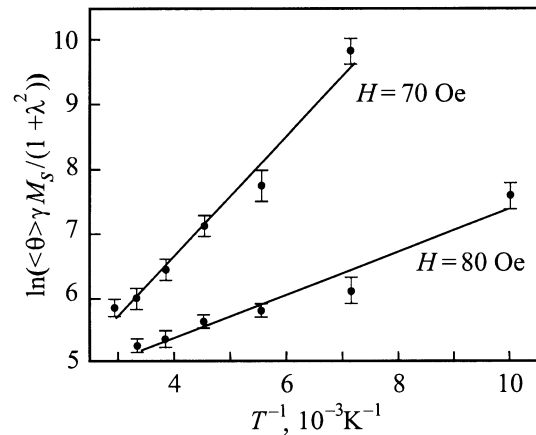
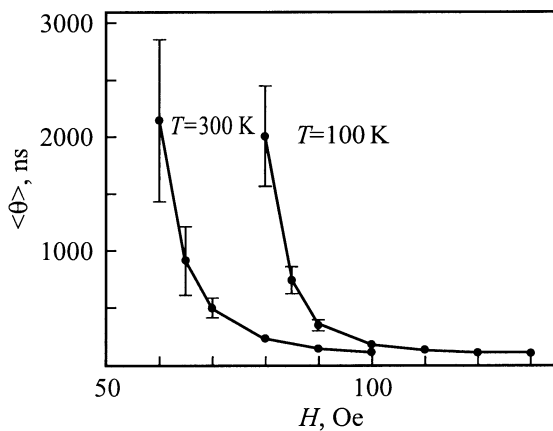


Рис. 5. Зависимость логарифма времени ожидания "перемагничивания" цепочки из 50 частиц от  $T^{-1}$  при значениях внешнего поля  $H = 70$  и  $80$  Ое.



**Рис. 6.** Зависимость времени  $\langle \theta \rangle$  ожидания "перемагничивания" цепочки из 50 частиц от внешнего поля при двух значениях температуры. Для температуры  $T = 300\text{ K}$  усреднение проводилось по 20 реализациям, а для  $T = 100\text{ K}$  — по 30 реализациям.

эту процедуру  $K$  раз (при моделировании мы выбирали  $K = 30$ ), получаем выборочные значения случайной величины  $\tilde{\theta}_i$  при заданном внешнем поле и температуре.

Тогда  $\langle \tilde{\theta} \rangle \simeq (\sum_{i=1}^K \tilde{\theta}_i) / K = 1/\alpha$ .

Мы чаще наблюдали появление зародыша на краю цепочки, что, по всей видимости, связано с уменьшением энергии критического зародыша на краю цепочки по сравнению с его энергией в объеме.

Зависимость  $\lg(\tilde{\theta})$  от  $T^{-1}$  хорошо аппроксимируется прямой, что доказывает активационный характер перемагничивания (рис. 5). На рис. 6 показана зависимость времени ожидания зародыша от внешнего магнитного поля, которая, несмотря на вероятностный характер перемагничивания, может описываться некоторым критическим значением. Так, при  $T = 300\text{ K}$  при величине поля больше  $\sim 60\text{ Oe}$  время перемагничивания сокращается. Можно полагать, что поле коэрцитивности равно  $60\text{ Oe}$ . Естественно, что с увеличением времени ожидания, которое определяется условиями проведения эксперимента, это "критическое" поле уменьшается.

Авторы благодарят Д.И. Крьюкова за помощь в проведении расчетов.

## Список литературы

- [1] A. Sugavara, M.R. Sheinfein. Phys. Rev. **B56**, 4, R8499 (1997).
- [2] С.А. Гусев, Л.А. Мазо, И.М. Нефедов, Ю.Н. Ноздрин, М.В. Сапожников, Л.В. Суходоев, А.А. Фраерман. Письма в ЖЭТФ **68**, 6, 475 (1998).
- [3] P.R. Cowburn, D.K. Koltsov, A.O. Adeyeye, M.E. Welland, D.M. Tricker. Phys. Rev. Lett. **83**, 5, 1042 (1999).
- [4] В.М. Розенбаум, В.М. Огенко, А.А. Чуйко. УФН **161**, 20, 79 (1991).
- [5] S.A. Cannas. Phys. Rev. **B52**, 5, 3034 (1995).

- [6] А.П. Прудников, Ю.А. Брычков, О.И. Маричев. Интегралы и ряды. Элементарные функции. Наука, М. (1981).
- [7] J.S. Jacobs, C.P. Bean. Phys. Rev. **100**, 4, 1060 (1955).
- [8] Н.-В. Braun. Phys. Rev. Lett. **71**, 23, 3558 (1993).
- [9] А.З. Паташинский, В.Л. Покровский. Флуктуационная теория фазовых переходов. Наука, М. (1982).